

Table 1. Chemical composition of sample. (%)

	C	Si	Mn	P	S	Cu	Ni	Cr
High carbon 13 Cr	0.92	0.71	0.40	0.019	0.009	0.10	0.14	13.01
Medium carbon 13 Cr	0.31	0.28	0.58	0.012	0.013	0.20	0.18	13.17

つて測定した。

### III. 実験結果および考察

#### a) 冷間圧延による機械的性質の変化

硬度および抗張力は圧延率の上昇と共に増加し 50%~60% でほぼ最高値に達しそれ以降の圧延率の増加に対しては大した変化は認められない。

伸びは硬度および抗張力とは反して圧延率の上昇と共に急激に低下し約 40% の圧延率でほぼ最低値を示しそれ以降は圧延率の増加に対して変化は認められない。

#### b) オーステナイト化温度、保持時間による硬度および球状炭化物量の変化

##### イ) オーステナイト化温度、保持時間に伴なう焼入、焼戻後の硬度変化。

Fig. 1 から判るように中高炭 13 Cr (MC) も高炭素 13 Cr (HC) も共に 850°C からのオーステナイト化温度が上昇するにしたがって焼入硬度も上昇し温度が 1050°C で最高値に達しそれ以上温度が上昇するとかえって焼入硬度は低下する。

Fig. 2 から判るように 850°C~1150°C の範囲でオーステナイト化したものは、焼戻温度が 200°C まではほとんど変化しないが 200°C を越すと、850°C~950°C の焼戻温度範囲においては硬度は徐々に低下し 400°C~500°C で最低値を示す。しかるに 1000°C~1100°C の範

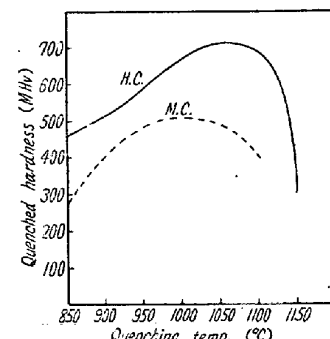


Fig. 1. Effect of quenching temperature on the hardness.

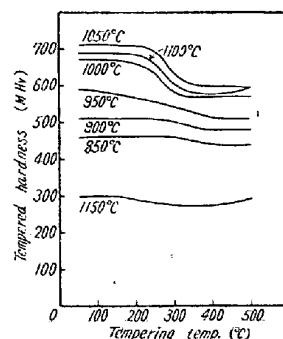


Fig. 2. Effect of tempering temperature on the hardness.

围でオーステナイト化したものは 200°C の焼戻温度を越すと急激な硬度の低下を示し、400°C で最低値になり 500°C になると多少上昇している。これは 500°C 以降の温度範囲に二次硬化のあることが推察される。

#### ロ) 焼入焼戻後における時効

上記の実験結果に基いて焼戻硬度に対する時効の有意性を焼入温度、焼戻温度、日時の 3 要因として三元配置法により検定した結果は日時による有意性は認められなかつた。

#### ハ) オーステナイト化温度および保持時間による球状炭化物量の変化

MC 13 Cr と HC 13 Cr の素材を 790°C~1050°C までの各温度でオーステナイト化しそれぞれの温度と保持時間に伴う球状炭化物量の変化を求めた。

これについては詳述する。

### IV. 結論

1) 冷間加工度による機械的性質の変化はその炭素量によつていぢるしい差がある。

2) オーステナイト化温度約 1050°C で焼入硬度は最高値に達しそれ以上の温度では反つて焼入硬度は低下する。

3) 焼入焼戻後の時効はない。

4) 冷間加工度(圧延率)の高いもの程球状炭化物のとけ込みが多い。

### (114) 露点凝縮型腐蝕について (II)

(ボイラ腐蝕)

On the Below Dew-Point Type Corrosion (II)

(Boiler Corrosion)

S. Jo.

日本特殊钢管、研究部 理博 条 朔 朗

I. 緒言

アラビヤ系石油は S および塩類夾雜物の含有が多く特に V の存在は鋼に対し、種々の形で腐蝕を与えることが考えられる。著者はこれを重油燃焼ボイラについて実験検討を行つた。

### II. 重油燃焼とボイラ伝熱面の附着物

#### (1) 廃ガス温度と附着物組成

試料採取位置とガス温度分布との関係を Fig. 1, 各部の附着物組成を Table 1 に示す。